

## ЛОКАЛЬНЫЕ НАГРУЖЕНИЯ ТРЕХСЛОЙНОЙ БАЛКИ СО СЖИМАЕМЫМ ЗАПОЛНИТЕЛЕМ В ТЕМПЕРАТУРНОМ ПОЛЕ

<sup>1</sup>Плескачевский Ю.М., <sup>2</sup>Журавков М.А., <sup>3</sup>Старовойтов Э.И.

<sup>1</sup>Национальная Академия наук Беларуси, Минск, Беларусь

<sup>2</sup>Белорусский государственный университет Минск, Беларусь

<sup>1</sup>Белорусский государственный университет транспорта, Гомель, Беларусь

**Введение.** Современные тенденции в строительстве и машиностроении диктуют всё новые и новые требования к конструкциям и изделиям. Необходимость повышения прочностных характеристик непрерывно возрастает, а условия эксплуатации становятся всё более жесткими. В связи с этим широкое применение в технике и строительстве получили многослойные, в том числе трехслойные, конструкции. Стержни, пластины и оболочки, имеющие слоистую структуру, при относительно малом весе способны обеспечить заданную прочность, жёсткость и противостоять ряду других физических воздействий.

В монографиях [1–3] рассматриваются различные математические модели статического и динамического деформирования многослойных и трехслойных элементов конструкций, приведены постановки краевых задач, изложены методы их расчета. Работа [4] посвящена исследованию квазистатического деформирования упругих геометрически нелинейных многослойных стержней. В статьях [5, 6] исследовано деформирование сэндвич-балок и пластин, в том числе с помощью метода усреднения упругих свойств материалов слоев. Изотермическое динамическое поведение слоистых элементов конструкций при непрерывных и локальных нагрузках рассмотрено в работах [7–9]. Статьи [10, 11] посвящены исследованию колебаний трехслойных пластин, возникающих вследствие теплового или радиационного ударов. Анализ деформирования физически нелинейных трехслойных пластин проведен в публикациях [12–14]. Исследованию напряженно-деформированного состояния трехслойных стержней с несжимаемым заполнителем посвящены статьи [15–18]. Деформирование упругих трехслойных стержней со сжимаемым заполнителем в температурном поле при непрерывных нагрузках рассмотрено в статье [19].

Здесь приведена постановка и построено аналитическое решение краевой задачи о термосиловом нагружении *трехслойного стержня прямоугольного поперечного сечения со сжимаемым заполнителем при локальных нагрузках*. Численная апробация решения проведена в случае металлополимерного стержня.

**Постановка краевой задачи.** Рассматривается деформирование несимметричного по толщине трехслойной балки в температурном поле под действием локальной поперечной поверхностной нагрузки  $q(x)$ , распределенной в интервале  $a \leq x \leq b$  (рис. 1). Для изотропных несущих слоёв стержня приняты гипотезы Бернулли. На границах контакта используются условия непрерывности перемещений. Материалы несущих слоев несжимаемы в поперечном направлении, в заполнителе учитывается сдвиг и обжатие, деформации малые. Система координат  $x, y, z$  связывается со срединной плоскостью заполнителя. На стержень действует тепловой поток интенсивности  $q_t$ , направленный перпендикулярно несущему слою  $l$ . Через  $w_k(x)$  и  $u_k(x)$  обозначены прогибы и продольные перемещения срединных поверхностей *несущих* слоёв,  $h_k$  – толщина  $k$ -го слоя,  $h_3 = 2c$  ( $k = 1, 2, 3$  – номер слоя),  $b_0$  – ширина стержня.

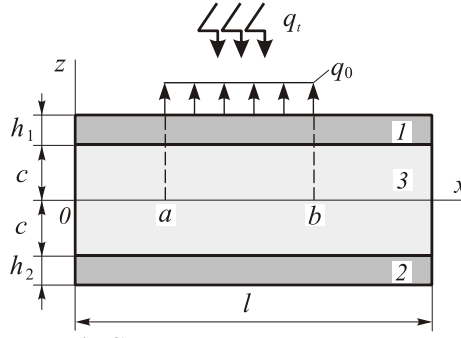


Рис. 1. Схема нагружения стержня

В качестве физических уравнений состояния в слоях стержня используются термоупругие соотношения закона Гука:

$$s_i^{(k)} = 2G_k(T_k)\varepsilon_i^{(k)}, \quad s_{xz}^{(3)} = 2G_3\varepsilon_{xz}^{(3)}, \quad (1)$$

$$\sigma^{(k)} = 3K_k(T_k)(\varepsilon^{(k)} - \alpha_{0k}T_k) \quad (i = x, z; k = 1, 2, 3).$$

где  $s_i^{(k)}$ ,  $\varepsilon_i^{(k)}$ ,  $\sigma^{(k)}$ ,  $\varepsilon^{(k)}$  – девиаторные и шаровые части тензоров напряжений и деформаций;  $G_k(T_k)$ ,  $K_k(T_k)$  – температурно-зависимые модули упругости материала  $k$ -го слоя;  $\alpha_{0k}$  – коэффициент линейного температурного расширения;  $T_k$  – приращение температуры, отсчитываемое от начального значения  $T_0$ .

Считаем поверхность  $z = -c - h_2$  и контур стержня теплоизолированными. Это позволяет неоднородное температурное поле  $T(z)$ , отсчитываемое от некоторой начальной температуры  $T_0$ , вычислять с достаточной точностью по формуле [7]:

$$T = \frac{qH}{\lambda} \left\{ \tau + \frac{1}{2} \left( s + \frac{c+h_2}{H} \right)^2 - \frac{1}{6} - \frac{2}{\pi^2} \sum_{n=1}^{\infty} \frac{(-1)^n}{n^2} \cos \left[ \pi n \left( s + \frac{c+h_2}{H} \right) \right] e^{-n^2 \pi^2 \tau} \right\}, \quad (2)$$

$$\tau = \frac{at}{H^2}, \quad a = \frac{\sum_{k=1}^3 \lambda_{tk} h_k}{\sum_{k=1}^3 \rho_k C_k h_k}, \quad H = \sum_{k=1}^3 h_k \dots$$

где  $\lambda_{tk}$ ,  $\rho_k$ ,  $C_k$  – теплопроводность, плотность и теплоемкость материала  $k$ -го слоя.

Перемещения в слоях  $u^{(k)}(x, z)$  и  $w^{(k)}(x, z)$  можно выразить через четыре искомые функции  $w_1(x)$ ,  $u_1(x)$ ,  $w_2(x)$  и  $u_2(x)$ :

в несущих слоях

$$u^{(1)} = u_1 - \left( z - c - \frac{h_1}{2} \right) w_{1,x}, \quad w^{(1)} = w_1 \quad (c \leq z \leq c + h_1),$$

$$u^{(2)} = u_2 - \left( z + c + \frac{h_2}{2} \right) w_{2,x}, \quad w^{(2)} = w_2 \quad (-c - h_2 \leq z \leq -c);$$

в заполнителе

$$u^{(3)} = \left( 1 + \frac{z}{c} \right) \left( \frac{1}{2} u_1 + \frac{h_1}{4} w_{1,x} \right) + \left( 1 - \frac{z}{c} \right) \left( \frac{1}{2} u_2 - \frac{h_2}{4} w_{2,x} \right), \quad (3)$$

$$w^{(3)} = \frac{1}{2} \left( 1 + \frac{z}{c} \right) w_1 + \frac{1}{2} \left( 1 - \frac{z}{c} \right) w_2 \quad (-c \leq z \leq c),$$

где  $z$  – координата рассматриваемого волокна.

Искомые перемещения будут удовлетворять следующей системе дифференциальных уравнений равновесия [2, 4]:

$$\begin{aligned} a_1 u_1 - a_1 u_2 - a_4 u_{1,xx} - a_5 u_{2,xx} + a_2 w_{1,x} + a_3 w_{2,x} - 2a_6 w_{1,xxx} + a_7 w_{2,xxx} &= p, \\ -a_1 u_1 + a_1 u_2 - a_5 u_{1,xx} - a_5 u_{2,xx} - a_{10} w_{1,x} - a_{17} w_{2,x} - a_6 w_{1,xxx} + 2a_7 w_{2,xxx} &= 0, \\ -a_2 u_{1,x} + a_{10} u_{2,x} + 2a_6 u_{1,xxx} + a_6 u_{2,xxx} + a_{11} w_{1,xx} - \\ -a_{12} w_{2,xx} + a_{15} w_{1,xxx} - a_{16} w_{2,xxx} + a_8 w_1 - a_8 w_2 &= q - q_t, \\ -a_3 u_{1,x} + a_{17} u_{2,x} - a_7 u_{1,xxx} - 2a_7 u_{2,xxx} - a_{12} w_{1,xx} + a_{14} w_{2,xx} - a_{16} w_{1,xxx} + a_{13} w_{2,xxx} - a_8 w_1 + a_8 w_2 &= q_t. \end{aligned} \quad (4)$$

где температурные добавки  $q_i$  и коэффициенты  $a_1, \dots, a_{17}$ , вычисляемые через геометрические и упругие параметры слоев, определяются с учетом температуры

$$\begin{aligned} q_i &= -\frac{3b_0h_3K_3\alpha_{03}T_3}{2cb_0}, \quad a_1 = \frac{G_3}{2c}; \quad a_2 = \frac{G_3}{2}\left(1 + \frac{h_1}{2c}\right) - \frac{K_3^-}{2}, \quad a_3 = \frac{G_3}{2}\left(1 + \frac{h_2}{2c}\right) + \frac{K_3^-}{2}, \\ a_4 &= K_1^+h_1 + \frac{2K_3^+c}{3}, \quad a_5 = \frac{K_3^+c}{3}, \quad a_6 = \frac{K_3^+ch_1}{6}, \quad a_7 = \frac{K_3^+ch_2}{6}, \quad a_8 = \frac{K_3^+}{2c}, \\ a_9 &= K_2^+h_2 + \frac{2K_3^+c}{3}, \quad a_{10} = \frac{G_3}{2}\left(1 + \frac{h_1}{2c}\right) + \frac{K_3^-}{2}, \quad a_{11} = \frac{K_3^-h_1}{2} - \frac{G_3c}{2}\left(1 + \frac{h_1}{2c}\right) - \frac{G_3c}{6}, \\ a_{12} &= \frac{K_3^-(h_1+h_2)}{4} + \frac{G_3c}{2}\left(1 + \frac{h_1}{2c}\right)\left(1 + \frac{h_2}{2c}\right) - \frac{G_3c}{6}, \quad a_{13} = \frac{K_2^+h_2^3}{12} + \frac{K_3^+ch_2^2}{6}, \\ a_{14} &= \frac{K_3^-h_2}{2} - \frac{G_3c}{2}\left(1 + \frac{h_2}{2c}\right) - \frac{G_3c}{6}, \quad a_{15} = \frac{K_1^+h_1^3}{12} + \frac{K_3^+ch_1^2}{6}, \quad a_{16} = \frac{K_3^+ch_2h_1}{12}, \\ a_{17} &= \frac{G_3}{2}\left(1 + \frac{h_2}{2c}\right) - \frac{K_3^-}{2}, \quad K_k^+(T_k) = K_k(T_k) + \frac{4}{3}G_k(T_k), \quad K_k^-(T_k) = K_k(T_k) - \frac{2}{3}G_k(T_k). \end{aligned}$$

В качестве граничных условий принимаем кинематические условия свободного опирания рассматриваемого трехслойного стержня по торцам на неподвижные в пространстве жесткие опоры. Тогда в торцевых поперечных сечениях  $x = 0, l$  ( $l$  – длина стержня) должны выполняться следующие требования:

$$w_k = u_{k,x} = w_{k,xx} = 0 \quad (k = 1, 2). \quad (5)$$

#### Общее решение краевой задачи.

Решение системы дифференциальных уравнений (4) предполагается в виде разложения в тригонометрические ряды, которые автоматически удовлетворяют граничным условиям (5):

$$\begin{aligned} u_1 &= \sum_{m=1}^{\infty} U_{1m} \cos\left(\frac{\pi mx}{l}\right), \quad u_2 = \sum_{m=1}^{\infty} U_{2m} \cos\left(\frac{\pi mx}{l}\right), \\ w_1 &= \sum_{m=1}^{\infty} W_{1m} \sin\left(\frac{\pi mx}{l}\right), \quad w_2 = \sum_{m=1}^{\infty} W_{2m} \sin\left(\frac{\pi mx}{l}\right), \end{aligned} \quad (6)$$

где  $U_{1m}, U_{2m}, W_{1m}, W_{2m}$  – искомые амплитуды перемещений.

Внешнюю нагрузку и температурные составляющие в слоях стержня также представляются в виде разложений в следующие тригонометрические ряды:

$$\begin{aligned} q &= \sum_{m=1}^{\infty} q_m \sin\left(\frac{\pi mx}{l}\right), \quad q_m = \frac{2}{l} \int_0^l q(x) \sin\left(\frac{\pi mx}{l}\right) dx, \\ p &= \sum_{m=1}^{\infty} p_m \sin\left(\frac{\pi mx}{l}\right), \quad p_m = \frac{2}{l} \int_0^l p(x) \sin\left(\frac{\pi mx}{l}\right) dx, \\ q_t &= \sum_{m=1}^{\infty} g_{tm} \sin\left(\frac{\pi mx}{l}\right), \quad q_{tm} = \frac{2}{l} \int_0^l g_t(x) \sin\left(\frac{\pi mx}{l}\right) dx. \end{aligned} \quad (7)$$

После подстановки перемещений (6) и нагрузок (7) в систему дифференциальных уравнений (4) получим следующую систему линейных алгебраических уравнений для определения искомых амплитуд перемещений  $U_{1m}, U_{2m}, W_{1m}, W_{2m}$  при  $m$ -ой гармонике:

$$\begin{cases} b_1U_{1m} + b_2U_{2m} + b_3W_{1m} + b_4W_{2m} = p_m, \\ b_2U_{1m} + b_5U_{2m} + b_6W_{1m} - b_7W_{2m} = 0, \\ b_3U_{1m} + b_6U_{2m} + b_8W_{1m} + b_9W_{2m} = q_m - q_{tm}, \\ b_4U_{1m} - b_7U_{2m} + b_9W_{1m} + b_{10}W_{2m} = q_{tm}. \end{cases} \quad (8)$$

где коэффициенты  $b_i$  зависят от параметра  $m$  и от температуры через коэффициенты  $a_n$ .

Решение системы (8) будем получать численно для различных локальных нагрузок. Далее по формулам (6) вычисляются искомые функции. Перемещения в несущих слоях и заполнителе следуют из соотношений (2), деформации – из соотношений Коши, напряжения – из закона Гука (1).

**Локальная поверхностная нагрузка.** Рассматривается деформирование в температурном поле рассматриваемой трехслойной балки под действием локальной поперечной поверхностной нагрузки  $q(x)$ , равномерно распределенной в интервале  $a \leq x \leq b$  (см. рис. 1). Аналитический вид нагрузки будет

$$q(x) = q_0 (H_0(b-x) - H_0(a-x)) \quad (9)$$

где  $H_0(x)$  – функция Хевисайда,  $q_0$  – интенсивность нагрузки.

Вычислив интеграл в (7), получим коэффициенты разложения нагрузки (9) в ряд

$$q_m = -\frac{2q_0}{\pi m} \left( \cos \frac{\pi m b}{l} - \cos \frac{\pi m a}{l} \right) \quad (10)$$

После решения системы (8), с учетом коэффициентов (10), получим амплитуды перемещений  $U_{1m}, U_{2m}, W_{1m}, W_{2m}$ . Суммированием рядов по формулам (6) вычисляются искомые функции, перемещения в слоях стержня следуют из соотношений (3).

Численные результаты получены для трехслойного стержня, слои которого набраны из материалов Д16Т–фторопласт–Д16Т, термомеханические параметры которых приведены в [2]. Относительные толщины слоев  $h_1 = 0,04, h_2 = 0,02, h_3 = 0,18$ . Интенсивность распределенной локальной нагрузки  $q_0 = -10$  МПа. Температурное поле рассчитывалось по формуле (2) при интенсивности теплового потока  $q_t = 5000$  Дж / (м<sup>2</sup> · с). Расчетная температура на поверхности стержня в момент времени  $t = 60$  мин достигала 540 К.

Рис. 2 иллюстрирует изменение прогибов несущих слоев в срединном поперечном сечении стержня ( $x = 0,5$ ) в зависимости от длины интервала нагрузки  $b$  (9) при  $a = 0$ . Максимум, естественно, наблюдается при нагрузке, распределенной по всему стержню. Разность этих прогибов дает величину обжатия заполнителя, которая здесь не велика. Температурная составляющая прогибов достигает 16 %.

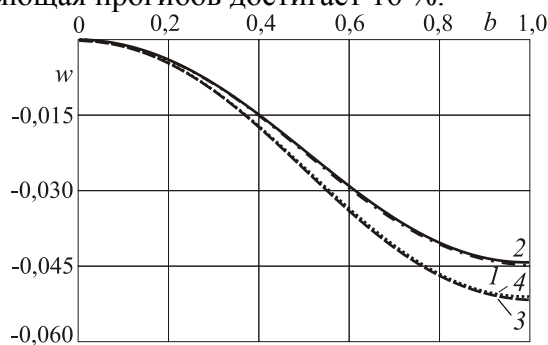


Рис. 2. Прогибы несущих слоев: 1, 3 – первого слоя изотермический и термосиловой, 2, 4 – аналогичные прогибы второго несущего слоя

**Сосредоточенная поперечная сила.** Примем, что погонная (вдоль координаты  $y$ ) поперечная сила постоянной интенсивности  $Q_0$ , приложена в сечении с координатой  $x = a$ .

Решение задачи проведем, применяя результаты, полученные для распределенной на интервале  $a - c \leq x \leq a + c$  поверхностной нагрузки интенсивности  $q_0$ . Предположим, что  $c$  мало и введем в коэффициенты (10) замену  $q_0 = Q_0 / (2c)$ . После этого будем стягивать интервал нагрузки к сечению  $x = a$ , для чего устремим величину  $c$  к нулю, оставляя  $Q_0$  постоянной. В результате получим следующие коэффициенты разложения прямоугольной нагрузки в ряд:

$$q_m = \frac{2Q_0}{2c\pi m} \left( \cos \frac{\pi m(a+c)}{l} - \cos \frac{\pi m(a-c)}{l} \right) = \frac{2Q_0}{l} \sin \frac{\pi m a}{l} \quad (11)$$

Вычислив коэффициенты  $q_m$  по формуле (11), и внося их в систему (8), получим искомые амплитуды перемещений  $U_{1m}, U_{2m}, W_{1m}, W_{2m}$ . Полные перемещения после этого вычисляются суммированием рядов (6).

Численные результаты получены при величине внешней силы  $Q_0 = 10^6$  Н. На рис. 3 показано посередине стержня ( $x = 0,5$ ) в зависимости от координаты  $a$  места приложения сосредоточенной силы  $Q$ . По мере продвижения силы от левого края стержня прогибы возрастают и достигают максимума при  $a = 0,5$ , затем их величина убывает. Если сила приложена на опорах стержня, то прогибы нулевые. Температура увеличивает максимальные прогибы на 16 %.

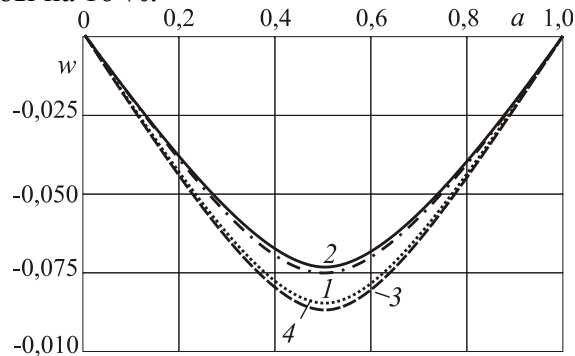


Рис. 3. Зависимость прогибов несущих слоев от координаты приложения нагрузки:  
1, 3 – первого слоя изотермический и термосиловой,  
2, 4 – аналогичные прогибы второго несущего слоя

*Сосредоточенный изгибающий момент.* Пусть на рассматриваемый трехслойный стержень в сечении  $x = a$  действует погонный поперечный момент интенсивности  $M_0 = \text{const}$ . Решение задачи проведем, используя сумму решений (11) для двух сосредоточенных сил, равных по величине, направленных в противоположные стороны и действующих в близко расположенных сечениях с координатами  $x = a - c$  и  $x = a + c$  ( $c$  – мало). В этой сумме введем замену  $Q_0 = M_0 / (2c)$  и устремим величину параметра  $c$  к нулю, оставляя  $M_0$  постоянной. В результате, вычислив предел, получим

$$q_m = \frac{2M_0}{l} \lim_{c \rightarrow 0} \left[ \frac{l}{2c\pi m} \left( \sin \frac{\pi m(a+c)}{l} - \sin \frac{\pi m(a-c)}{l} \right) \right] = \frac{2M_0\pi m}{l^2} \cos \frac{\pi m a}{l}.$$

Далее, после вычисления параметров  $q_m$  по полученной формуле и решении системы (7), получим искомые амплитуды перемещений  $U_{1m}, U_{2m}, W_{1m}, W_{2m}$ . Перемещения в слоях, деформации и напряжения после этого вычисляются по рассмотренной ранее схеме.

Численные результаты получены при  $M_0 = -10^5$  Н·м. Рис. 4 иллюстрирует изменение прогиба первого несущего слоя посередине стержня ( $x = 0,5$ ) в зависимости от координаты  $a$  места приложения сосредоточенного момента.

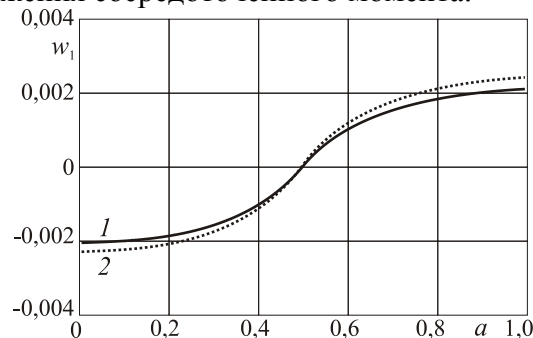


Рис. 4. Прогиб первого слоя в зависимости от координаты  $a$  приложения сосредоточенного момента: 1 – изотермическое нагружение, 2 – термосиловое.

Предложенная модель деформирования упругих трехслойных стержней со сжимаемым наполнителем позволяет исследовать их НДС при локальных нагрузках в температурном поле. Численные расчеты показали существенное влияние температуры на перемещения в стержне.

*Работа выполнена при финансовой поддержке БР ФФИ (проект T16P-010).*

#### ЛИТЕРАТУРА

1. Болотин, В.В. *Механика многослойных конструкций* / В.В. Болотин, Ю.Н. Новичков. – М.: Машиностроение, 1980. – 375 с.
2. Плескачевский, Ю. М. *Деформирование металлополимерных систем* / Ю. М. Плескачевский, Э. И. Старовойтов, А. В. Яровая – Минск: Бел. наука. 2004. – 342 с.
3. Плескачевский, Ю. М. *Динамика металлополимерных систем* / Ю. М. Плескачевский, Э. И. Старовойтов, А. В. Яровая. – Минск: Бел. наука. 2004. – 386 с.
4. Горшков, А. Г. *Механика слоистых вязкоупругопластических элементов конструкций* / А.Г. Горшков, Э. И. Старовойтов, А. В. Яровая – М.: ФИЗМАТЛИТ, 2005. – 576 с.
5. Старовойтов, Э. И. *Деформирование трехслойных элементов конструкций на упругом основании* / Э. И. Старовойтов, А. В. Яровая, Д. В. Леоненко – М.: ФИЗМАТЛИТ, 2006. 380 с.
6. Старовойтов, Э. И. *Сопротивление материалов* / Э. И. Старовойтов – М.: ФИЗМАТЛИТ, 2008. 384 с.
7. Горшков, А. Г. *Теория упругости и пластичности* / А.Г. Горшков, Э. И. Старовойтов, Д.В. Тарлаковский – М.: ФИЗМАТЛИТ, 2011. – 416 с.
8. Плескачевский, Ю. М. *Механика трехслойных стержней и пластин, связанных с упругим основанием* / Ю. М. Плескачевский, Э. И. Старовойтов, Д. В. Леоненко – М.: ФИЗМАТЛИТ, 2011. – 560 с.
9. Старовойтов, Э.И. *Трехслойные стержни в терморadiaционных полях* / Э.И. Старовойтов, М.А. Журавков, Д.В. Леоненко // Минск: Беларуская наука, 2017. – 275 с.
10. Leonenko, D. V. *Thermal impact on a circular sandwich plate on an elastic foundation* / D.V. Leonenko, E.I. Starovoitov // *Mechanics of Solids*. – 2012. – Vol. 47, № 1. – P. 111–118.
11. Журавков, М. А. *Деформирование трехслойного упругого стержня со сжимаемым наполнителем в температурном поле* / М. А. Журавков // *Проблемы машиностроения и автоматизации*. – 2016. – № 4. – С. 101–109.
12. Старовойтов, Э.И. *Термосиловое деформирование трехслойной круговой цилиндрической оболочки* / Э.И. Старовойтов, Ф.Б. Нагиев // *Теоретическая и прикладная механика*. Вып. 31.– Мн.: БНТУ. –2016. – С. 176–184.
13. Плескачевский, Ю. М. *Деформирование трехслойного упругого стержня нагрузками различных форм в температурном поле* / Ю.М. Плескачевский, Э.И. Старовойтов, Д.В. Леоненко // *Теоретическая и прикладная механика: междунар. научно-техн. сборник*.– Мн.: 2017. – Вып. 32. – С. 5–12.
14. Старовойтов, Э.И. *Повторное знакопеременное нагружение упругопластических тел в нейтронном потоке* / Э.И. Старовойтов, Д.М. Савицкий // *Теоретическая и прикладная механика*. – 2015. – Минск: БНТУ. Вып. 30. – С. 20–29.
15. Старовойтов, Э.И. *Термосиловое деформирование трехслойных упругопластических стержней* / Э.И. Старовойтов, Д.М. Савицкий // *Теоретическая и прикладная механика*. – 2014. – Вып. 29. – С. 51–57.